

有機質土の強度特性と物理性の関係について

秋田大学 正 貞 宮川 勇
 学生員 岩崎 恒明
 学生員 ○渡辺 滉

1. まえがき

現在、有機質土に関する“日本統一分類法規”の中で、{有機質土：(OL),(OV),(OH),(Pt),(MK)}として分類されている。しかしながら、その分類法規も必ずしも満足すべきものではなく、おおまかに見れば、黒ボクなどの火山灰系有機質土で代表されるものとし、泥炭（黒泥を含む）を中心とするものへ大きく分類される。

一般に有機質土から成る地盤は、軟弱地盤の最も典型的な例として、よく知られており、その支持力に関して、安定・沈下などの問題に対する取り扱い方が必ずしも、また、それらの点に関する取り扱いが最も進歩しているように思われる。

そこで著者等は、主として黒泥を対象として、その強度定数を物理定数との関連という点から検討を試みてきたが、これまでにあそ5か月、たった1か月の一部をここで報告する。なお、本実験における試料は表-1に示すようなものである。

2. 非排水強度(C_u)の統計的処理

現在まで、物理指標と力学的指標との相関関係は、いろいろ求められているが、それらのほとんどは、一度表示である。(たとえば $C_u \sim I_L$, $C_u \sim I_p$ など)

そこで著者らは、力学的指標(ここでは非排水強度(C_u)を多くの物理的指標で表示することが可能であるかどうか)を検討するため重回帰分析を用いて解析を試みた。

$$\text{モデル式 } Y = a_1 X_1 + a_2 X_2 + \cdots + a_n X_n + \epsilon \quad \cdots (1)$$

(1) W/I_L , I_L/I_w , $W/K_d/K_w$ の三変数を用いて解析した。結果はFig-1, 2で示した。

(2) 度数として、 G_s (比重), I_L (液塑限値), $\log W$ (W:含水比), K_d (湿潤密度), K_d (乾燥密度), K_d (液性限界), K_d (塑性限界), I_p (塑性指数)を用いて変数増減法を用いて解析した。結果はFig-3, 4で示した。なお、 I_L , W , K_d , W_p は%, K_d , K_d は g/cm^3 , C_u は kg/cm^2 である。

表-1 試料の物理性

試料	G_s	I_L (%)	I_p
Peat	1.77	65	206
CP75	2.00	46	160
CP50	2.18	30	80
CP25	2.38	21	58
Clay	2.65	6	36

Fig-1 計算値～実測値の関係

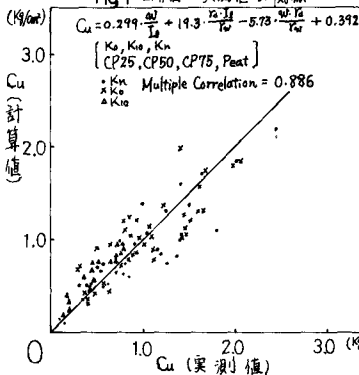


Fig-2 計算値～実測値の関係

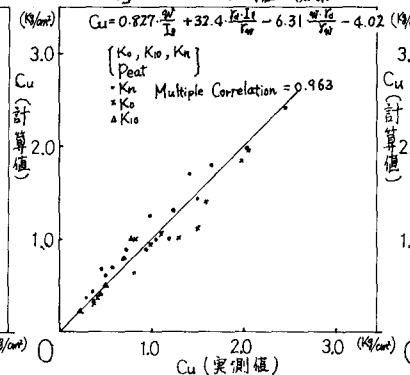
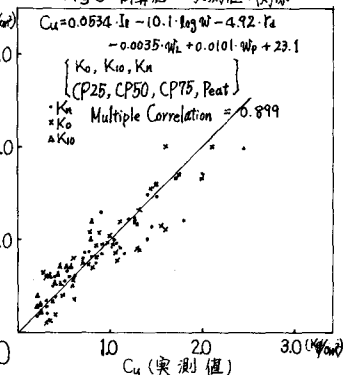
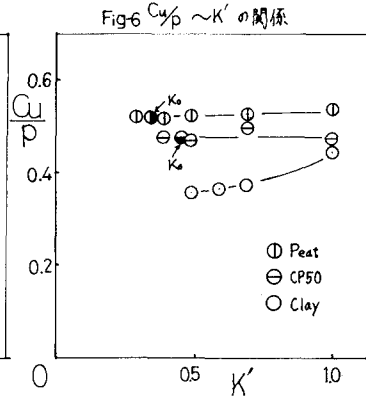
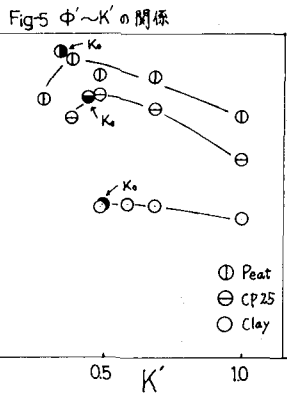
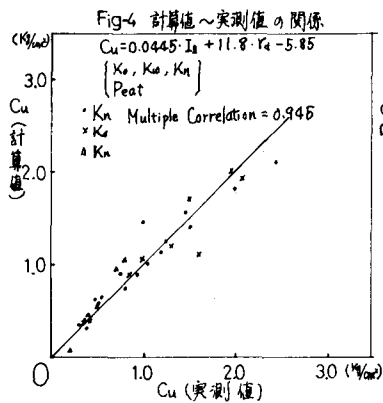


Fig-3 計算値～実測値の関係





結果はFig.1～4に示すように整理した。図中、 K_n 、 K_o 、 K_0 は圧密方法を表す、順次異方圧密、等方圧密、 K_0 圧密を表す。(Clay K_0 については $n=\frac{I_d}{P_w}=0.5, 0.6, 0.7$, CP25 は $n=0.4, 0.5, 0.7$, Peat は $n=0.3, 0.4, 0.5, 0.7$ であり, CP25, CP75 は等方, K_0 正密のみ。なお試料シート等方, 等圧密は行なった。) なお、圧縮試験における、ヒズミ速度および $0.1\%/\text{min}$ である。図よりわかるように一般的にはかなりよい相関性が得られているが、なおいくつかの疑問点もあり、また、この解析法が適切であるかなど、なお今後の研究へ待ちたい。

また一般には W_{I_d} は圧密圧力に対する量であり、圧密圧力が増加するに従い、減少していく。従って W_{I_d} は C_u に対する負の係数をもつて影響してこなければならぬ。しかししながら、実際には式中の W_{I_d} の係数は正である。これは、式中 $X_3=\frac{W_{I_d}}{K_0}$ の項が入ってくるため、式全体として(2)式の形へ変形され、結果的には負の係数となるのではないかと思われる。(今回のデータでは $C \cdot \frac{W_{I_d}}{K_0}$ の最小値(0.848)とAの最大値(0.827)の差は正となる。)

$$Y = -(C \cdot \frac{W_{I_d}}{K_0} - A) \cdot \frac{W_{I_d}}{I_d} + B \cdot \frac{W_{I_d}}{P_w} + D \quad \dots \quad (2)$$

3. 圧密時の主応力比(K')とせん断抵抗角(ϕ')の関係

等方圧密を受けた土の非排水せん断試験から得られたせん断抵抗角(ϕ_{K_0})と K_0 圧密を受けた土から得られる ϕ_{K_0} は異なることが報告されているが、 ϕ_{K_0} の場合、原地盤の中を過少評価することになる。このことから、圧密時の主応力の異方性がせん断抵抗角におよぼす影響に注目し、主応力比 K' とせん断抵抗角 ϕ' の関係をプロットしたのがFig.5である。図よりわかるように、 ϕ' は $K' > K'_0$ 、 $K' \approx K'_0$ 、 $K' < K'_0$ の三つの領域で異なる値をもつことがわかる。これらの結果から、横ひずみのない状態で圧密を受けた土粒子骨格構造はせん断抵抗角を最大にする状態であることを示すものと推定される。逆に $K' < K'_0$ の領域でせん断抵抗角が減少の傾向にあるのは、圧密過程におけるせん断応力の影響によって構成体が部分的に流動を起こしてあり骨格構造が不安定な状態にあるのではないかと思われる。これらの傾向は有機質量の多いものにおいて著しいようになれる。

4. 三軸応力下での強度増加比(C_u/p)

一般に等方圧密を受けた土の強度増加比は異方圧密を受けた土よりも大きめを示す。しかしFig.6に見られるように有機質含有量が増すに従ってその影響は小さく、なるようと思われる。これは強度増加比に対する影響要因を(3)式で考えると K' が1に近づくに従う C_u/p は増加するが、3.で述べたように K' の変化に伴う ϕ' の変化が有機質量の増加に伴って大きくなるため ϕ' の減少による C_u/p の減少が K' が1に近づくことによって ϕ' の増加が打ち消されてしまうためと思われる。Clayの場合、 K' の変化に伴う ϕ' の変化があまり大きくなりないため C_u/p は等方圧密に比べて大きくなる。

$$\frac{C_u}{P} = \frac{[K' + (1-K')Af] \sin \phi'}{1 + (2Af - 1) \sin \phi'} \quad , \quad Af: \text{破壊時の開ケギ水圧係数} \quad \dots \quad (3)$$

なお、2.における計算は東北大學大型計算機センター、NEAC 2200-700によつて行なわれた。
(参考文献) 宮川勇、三浦雅己: 等方圧密による荷重載荷時の強度特性に関する2-3の考察(P47～49, 昭和49年2月), 宮川勇、柴田恒夫、高野隆: K_0 圧密による有機質土の強度特性に関する2-3の考察(P47～49, 昭和49年2月), じきに土木学会東北支部技術研究委員会講演研究集会による。